

# تحلیل خطی مخازن فولادی روزمیینی نفت به روش زمان دوام با توابع شتاب سازگار با زلزله‌های واقعی

دانیال واعظی (کارشناس ارشد)

همایون استکانچی (دانشیار)

ابوالحسن وفایی (استاد)

دانشکده‌ی مهندسی عمران، دانشگاه صنعتی شریف

حسین تقی‌میری‌باغی (استادیار)

دانشکده‌ی فنی مهندسی، دانشگاه اصفهان

در این نوشتار رفتار مخازن استوانه‌ی فولادی روزمیینی به روش زمان دوام با توابع شتاب سازگار با زلزله‌های واقعی مورد تحلیل و بررسی قرار می‌گیرد و نتایج حاصل از آن با نتایج تحلیل تاریخچه‌ی زمانی تحت رکوردهای زلزله و توابع شتاب سازگار با طیف آینین‌نامه‌ی ۲۸۰۰ مقایسه می‌شود. برای این مخزن فرضی استوانه‌ی روزمیینی کاملاً مهاجر شده بر بستر به روش اجزاء محدود مدل شده و المان‌های سیال نیز برای دقت نتایج در مدل آورده شده است. مدل به صورت کاملاً خطی تحت انواع آنالیزهای استاتیکی، مودال، طیفی و تاریخچه‌ی زمانی قرار گرفت و نتایج حاصل با نتایج سایر محققین مقایسه شد. پس از اطمینان از صحت مدل اجزاء محدود، تحلیل‌های اصلی تاریخچه‌ی زمانی به ترتیب برای رکوردهای هفت زلزله‌ی واقعی و شش تابع شتاب از دو سری سه‌تایی e زمان دوام (سازگار با طیف زلزله‌ها) و a زمان دوام (سازگار با طیف آینین‌نامه‌ی ۲۸۰۰ ایران) انجام گرفت. نتایج در دو مرحله مقایسه شد: ابتدا نتایج سه تابع شتاب سری e و هفت رکورد زلزله مقایسه شد و سپس تمامی نتایج مربوط به دو سری a، e و زلزله‌ها پس از مقایسکردن برش پایه مقایسه شدند. نتایج حاصله بیان‌گر قابلیت هر دو سری a و e در تعیین تنش‌ها و تعییر شکل‌های مخزن و دقت بیشتر توابع سری e در تعیین تراز بیشینه‌ی آب هستند.

dvaezi@yahoo.com  
stkanchi@sharif.edu  
vafai@sharif.edu  
h\_tajmir@yahoo.com

وازگان کلیدی: روش زمان دوام، مخازن فولادی روزمیینی، مدل اجزاء محدود، تحلیل‌های تاریخچه‌ی زمانی، اندرکنش سیال و سازه.

## مقدمه

مخازن نگهداری مایعات از جمله سازه‌های سیار با اهمیت هستند. همراهی سیال و پوسته‌ی جامد و سیستم اندرکنشی این دو، این نوع از سازه را از سایر سازه‌ها متمایز می‌سازد. با توجه به جایگاه، مخازن به سه نوع: مدفون، زمینی و هوایی تقسیم می‌شوند. در این میان مخازن استوانه‌ی روزمیینی فولادی از جمله مخازن بسیار پرکاربرد هستند. این نوع مخازن گنجایش زیادی دارند و مایعات مختلفی را می‌توان در آنها ذخیره کرد، از جمله آب برای مصارف شرب و خاموش کردن آتش، مایعات و مواد شیمیایی مربوط به صنایع نفت، و... آسیب‌دیدگی این مخازن علاوه بر زیان اقتصادی مستقیم ممکن است به بروز خسارات غیرمستقیم مهمی نظیر قطع آب، آتش‌سوزی‌ها و آلودگی‌های زیست محیطی بینجامد. بنابراین اطمینان از عملکرد لرزه‌ی این نوع مخازن ضروری است. بهمین دلیل محققین و مهندسین

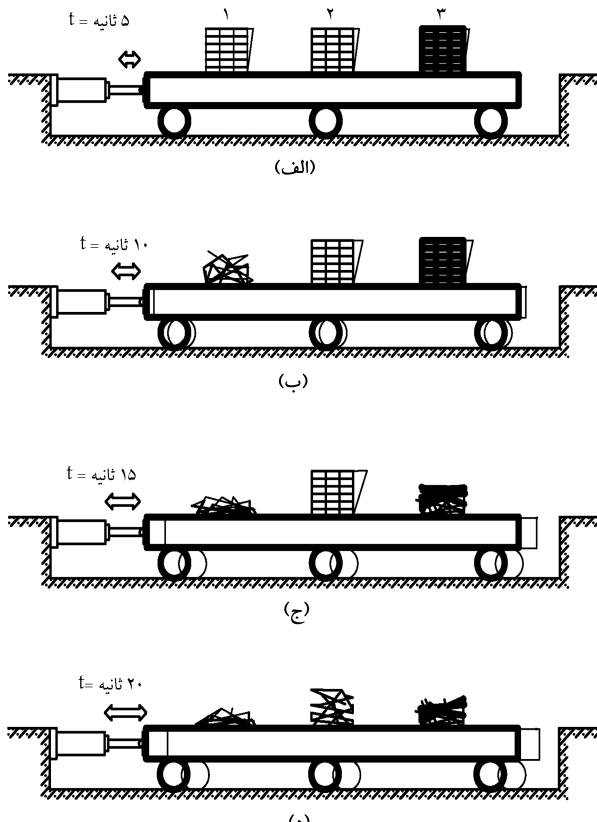
در این مطالعات، با توجه به صلب بودن دیواره و کف مخزن، صرفاً به پاسخ دینامیکی مایع داخل مخزن توجه شد. بعدها، در سال ۱۹۴۹ میلادی، مسئله‌ی

تاریخ: دریافت ۱۴، ۱۳۸۷/۲/۱۴، داوری ۳/۴، ۱۳۸۸/۶/۱۶.

بلکه زمان دوام بالاتر به معنی عملکرد بهتر در نظر گرفته می‌شود.<sup>[۱۲]</sup> زمان دوام کمینه همراه با شاخص خرابی مناسب می‌تواند به عنوان معیار طراحی در نظر گرفته شود. به این ترتیب در صورتی که شاخص خرابی مورد نظر تا زمان دوام تعیین شده پایین‌تر از حد مجاز باقی بماند، سازه قبول قبول فرض می‌شود. این روش اصولاً برای مطالعه‌ی سیستم‌های سازه‌ی پیچیده که استفاده از روش‌های ساده‌شده‌ی کلاسیک در مرور آن‌ها سؤال برانگیز است، بسیار مناسب است. علت این مسئله را باید در قابلیت‌های روش تحلیل تاریخچه‌ی زمانی که در عمل می‌تواند تغییرات تمام پارامترهای سیستم - نظری ساختی، غیرشکل، میرایی، جرم و غیره - را به طور لحظه به لحظه دنبال کند جستجو کرد. اگرچه مدل مورد مطالعه در این نوشتار برای ارزیابی اولیه‌ی روش فقط در محدوده‌ی رفتار خطی بررسی شده، مزیت این روش را باید بیشتر در تحلیل سیستم‌های با رفتار غیرخطی پیچیده جستجو کرد.

انتخاب تابع شتاب مناسب در این روش از اهمیت زیادی برخوردار است. توابع شتاب در روش زمان دوام بر مبنای طیف پاسخ ساخته می‌شود. در سری a تابع شتاب بر مبنای طیف پاسخ آئین نامه‌ی ۲۸۰۰ ایران است، اما تابع شتاب سری e بر مبنای طیف پاسخ میانگین هفت زلزله‌ی واقعی اند. در شکل ۲ نمونه‌ی تابع شتاب سری e نشان داده شده است. این تابع طوری ساخته شده‌اند که طیف حاصل از آنها در طول زمان متناسب با یک طیف شتاب پایه‌ی دلخواه غیربرمی‌کنند. این مسئله در شکل ۳ برای میانگین رکوردهای سری e نشان داده شده است. طیف مبنای تهیه‌ی این سری از رکوردها بر مبنای طیف متوسط حاصل از هفت رکورد زلزله که روی خاک مشابه با نوع ۲ آئین نامه‌ی ۲۸۰۰ ایران ثبت شده‌اند در نظر گرفته شد. در شکل ۴ این طیف نشان داده شده است.

هیدرودینامیک در مخازن توسعه داده شد.<sup>[۵]</sup> در سال ۱۹۵۴ میلادی، هاووزن نشان داد که مایع داخل مخزن از دو بخش تشکیل شده است: «بخش مواجه» که بر اثر تحریکات دینامیکی دارای جنبشی با پریود بلند است، و «بخش سخت»<sup>۶</sup> که دارای نوسانی صلب‌گونه با دیواره‌ی مخزن است.<sup>[۶]</sup> بخش مواجه مایع مشخص‌کننده‌ی ارتفاع آزاد مخزن در بالای سطح مایع است و بخش سخت مایع که با شتابی همسان با شتاب تحریکات ورودی نوسان می‌کند، بیشتر بر برش پایه و لنگر واژگونی تأثیر دارد. در این زمان به نظر می‌رسید که موضوع خاتمه یافته باشد، که زلزله‌ی سال ۱۹۶۴ میلادی آلسکا موجب تخریب تعداد زیادی از مخازن مایع شد و همین مسئله منشاء مطالعات گسترده‌ی در زمینه‌ی رفتار و خصوصیات دینامیکی مخازن با جداره‌ی انعطاف‌پذیر شد. در این مطالعات نشان داده شد که انعطاف‌پذیری جداره سبب می‌شود شتاب واردۀ بر بخش سخت مایع چندین بار بیشتر از شتاب تحریک ورودی به سیستم باشد.<sup>[۷]</sup> بر این اساس برش پایه و لنگر واژگونی محاسبه شده در مخازن با فرض صلیبت جداره‌ی مخزن در جهت اطمینان نیست. نخستین تحلیل رایانه‌یی مخازن مایع در سال ۱۹۶۹ و با استفاده از روش اجزاء محدود صورت گرفت.<sup>[۸]</sup> این تحلیل بر روی یک مخزن استوانه‌یی مهارشده محتوی مایع با نسبت ارتفاع به قطر کم‌تر از ۱ انجام گرفت. در این تحلیل مسئله‌ی اندکشش مایع و دیواره‌ی کشسان پوسته‌ی مخزن لحاظ شد. در تحقیقات یادشده مخازن به صورت کشسان خطی و کاملاً مهارشده در نظر گرفته شدند. به این ترتیب با توسعه‌ی روش اجزاء محدود و محاسبات رایانه‌یی، تحلیل مخازن که در گذشته عمده‌اً به صورت آزمایشگاهی و تحلیلی انجام می‌شد سرعت و وسعت بیشتری گرفت. تحقیقات توسعه یافت<sup>[۹][۱۰]</sup> و آئین نامه‌های گوناگون نظری API<sup>۲</sup> و بخش چهار یورو کد هشت<sup>۳</sup> براساس این تحقیقات شکل گرفت.<sup>[۱۱]</sup>

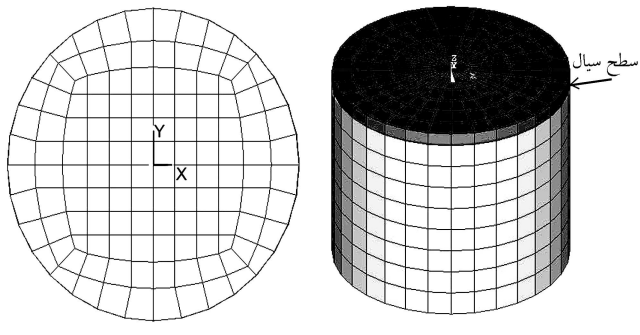


شکل ۱. آزمایش فرضی.

## روش زمان دوام<sup>۵</sup>

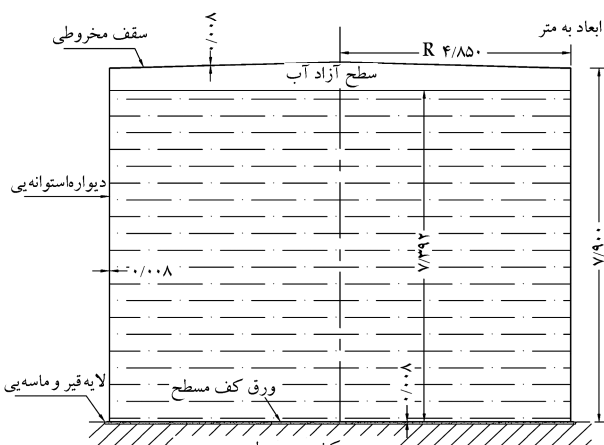
هدف «روش زمان دوام» ارائه‌ی یک روش نسبتاً جامع تحلیلی مبتنی بر تحلیل تاریخچه‌ی زمانی به منظور ارزیابی سیستم‌های سازه‌یی تحت تحریک‌های دینامیکی ناشی از زلزله است. به لحاظ مفهومی این روش تاحدودی مشابه روش «تست و روش» است که در پژوهشی برای ارزیابی وضعيت قلبی-عروقی ورزشکاران و بیماران به کار می‌رود. روش زمان دوام را می‌توان با یک آزمایش فرضی توضیح داد. فرض کنید می‌خواهیم عملکرد لرزه‌یی سه سازه‌ی مختلف با مقاومت جانبی و مشخصات دینامیکی ناشناخته را بررسی کنیم. هر سه سازه را روی میز لرزان قرار می‌دهیم. آزمایش را با واردکردن یک تابع شتاب تصادفی که شدت آن به تدریج افزایش می‌یابد شروع می‌کنیم. در ابتدا، فرض‌آ تا ثانیه‌ی پنجم آزمایش، شدت نوسان میز کم است و هر سه سازه پایدارند (شکل ۱). به تدریج، و با افزایش نوسان به مرحله‌یی می‌رسیم که اولین سازه دچار خرابی می‌شود. در این مثال فرض کنید سازه ۱ در ثانیه‌ی دهم دچار خرابی شده است، و با ادامه‌ی افزایش شدت نوسانات سازه‌ی بعدی (سازه ۲) در ثانیه‌ی پانزدهم دچار خرابی می‌شود و نهایتاً سازه ۲ نیز در شدت نوسان بالاتر و در ثانیه‌ی بیست خراب می‌شود. حال براساس این آزمایش فرضی می‌توان قضاوت کرد که سازه شماره‌ی ۲ که دوام بیشتری را نشان داده عملکرد لرزه‌یی بهتری دارد، و سازه شماره‌ی ۱ که زودتر از سایر سازه‌ها دچار خرابی شده عملکرد ضعیفتری دارد.<sup>[۱۲-۱۳]</sup> در این ارزیابی معیار سنجش برمیانی زمان دوام سازه در مقابل تابع شتاب اعمالی بوده و پارامترهایی نظری ساختی، مقاومت جانبی، پریود نوسان و مشخصات دینامیکی به طور مستقیم مورد استفاده قرار نمی‌گیرند،

سازه، جزء مدل‌های پیچیده به شمار می‌رود و در صورت عدم توجه طریف به مدل‌سازی، عملاً به نتایج ناسازگار و غیر واقعی منجر خواهد شد. (شکل ۵) به منظور اطمینان از درستی عملکرد مدل عددی، از مشخصات مشابه با مدل مورد استفاده‌ی بارتون و پارکر<sup>[۱۸]</sup> استفاده شد (جدول ۱). در نوشتار حاضر این مدل به نام «مخزن A» نامگذاری شده است (شکل ۶). ارتباط سیال و پوسته با استفاده از المان‌های تماسی که فشار را صرفاً در جهت عمود بر سطح منتقل می‌نمند، مدل‌سازی شده است.



الف) نمایی سه بعدی از مخزن؛  
ب) سطح مقطع مخزن (سیال).

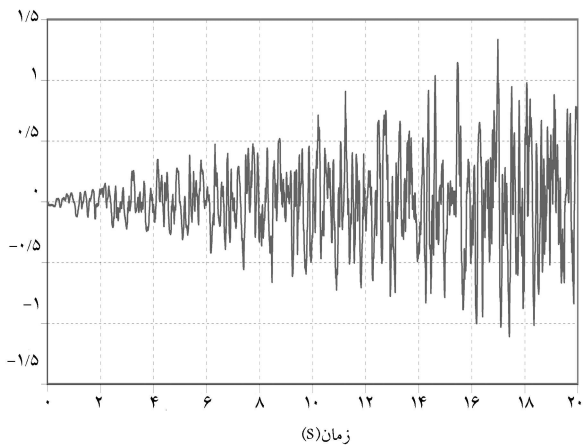
شکل ۵. مدل اجزاء محدود.



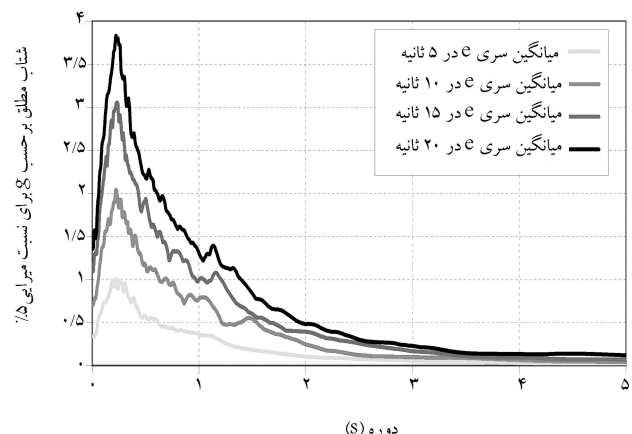
شکل ۶. برش طولی از مخزن A.

جدول ۱. مشخصات هندسی و خواص سیال و فولاد در «مخزن A».

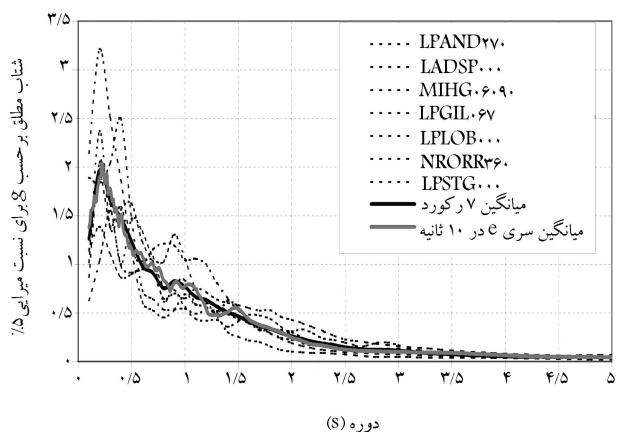
مقدار عددی	پارامتر طراحی
۷,۹	ارتفاع دیواره (Ht)m
۷,۳۹۲	ارتفاع سیال (h)m
۸,۰۲۳	ارتفاع سقف (Hr)m
۴,۸۵	شعاع مخزن (R)m
۸	ضخامت دیواره (mm)
۲,۰۷	مدول بالک سیال (GPa)
۱۰۰۰	جرم حجمی سیال ( $\text{Kg}/\text{m}^3$ )
۰,۰۰۱۱۳	گران روی سیال ( $\text{Ns}/\text{m}^2$ )
۲۰۴	مدول کشسانی فولاد (GPa)
۷۸۰۰	جرم حجمی فولاد ( $\text{Kg}/\text{m}^3$ )
۰,۲۷	نسبت پواسون فولاد



شکل ۲. تاریخچه زمانی یکی از شتاب‌نگاشتهای سری e.



شکل ۳. طیف پاسخ میانگین سری e در زمان‌های مختلف.



شکل ۴. طیف پاسخ زلزله‌ها و میانگین زلزله‌ها و سری e در زمان‌های مختلف.

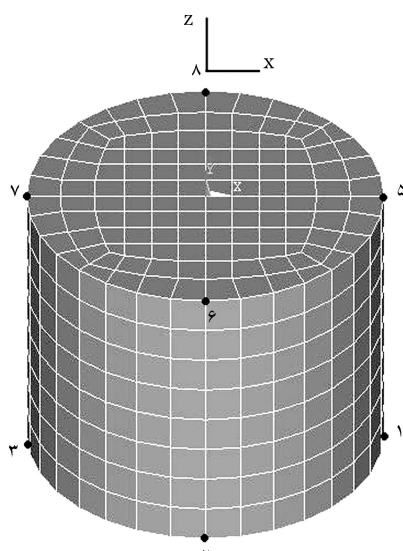
## طراحی مدل و مشخصات مخزن

مدل عددی مخزن به روش اجزاء محدود با در نظر گرفتن عنصر سیال انجام گرفته است. اگرچه مدل مورد نظر به ظاهر از یک لوله فولادی به اضافه یک استوانه متصل کل از سیال تشکیل شده و ساده به نظر میرسد، باید توجه داشت که این مدل به لحاظ ماهیت رفتار پیچیده‌ی سازه‌های پوسته‌یی و مستعلمه‌ی اندرکنش سیال با

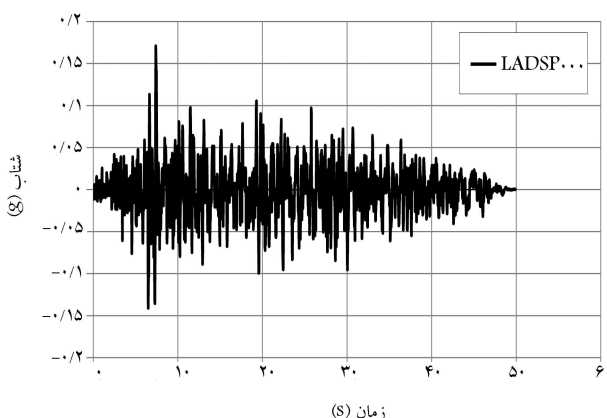
## کنترل صحت عملکرد مدل عددی

### تحلیل ایستا

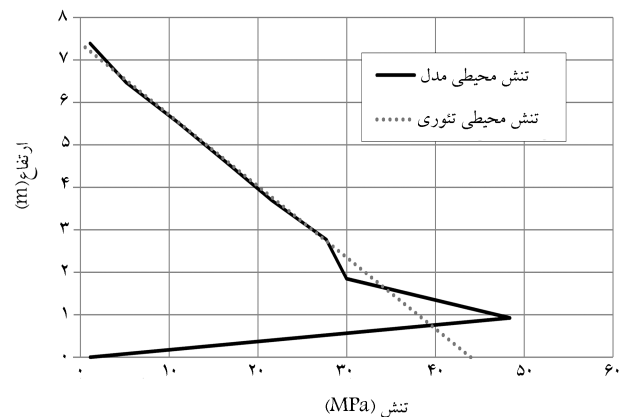
افزون بر مقایسه نتایج با تایای دیگر مقالات، [۲۰-۱۸] تحلیل ایستا روی مدل انجام، و صحت نیروها در راستای Z - مجموع نیروی وزن پوسته و سیال - کنترل شد. همچنین با مشاهده فشار هیدرواستاتیک سیال و مقایسه آن با  $\gamma h$  با  $P = \gamma h$  صحت مدل اطمینان حاصل شد. در شکل ۷ تنش محیطی محاسبه شده در مدل با مقدار به دست آمده از نظریه مقایسه شده است. پارامترهای دینامیکی مدل نظیر فرکانس‌های طبیعی و اشکال مودی با مقادیر تحلیل‌های عددی و تحلیلی سایر مراجع روی همین مخزن [۲۰-۱۸] مقایسه شدند. در جدول ۲ نتایج تحلیل مودی ارائه شده است که در آن  $f_1$  فرکانس مود اصلی بخش موج،  $m_1$  فرکانس مود اصلی بخش سخت،  $m_{11}$  جرم بخش موج، و  $m_{12}$  جرم مؤثر بخش سخت است. در شکل ۸ اشکال مودهای اصلی مخزن نمایش داده شده است.



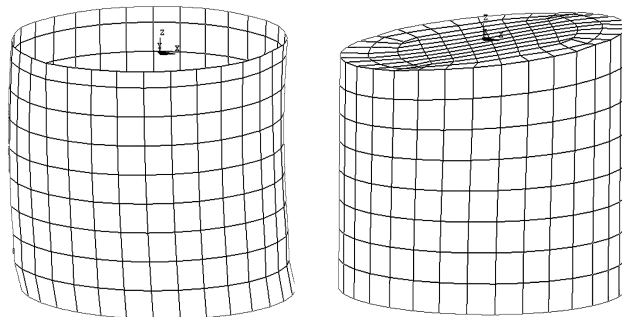
شکل ۹. نمایش نقاط گرهی در مقطع سیال.



شکل ۱۰. تاریخچه زمانی شتاب رکورد ۱.



شکل ۷. نمودار مقایسه تنش محیطی به دست آمده از مدل و نظریه برای مخزن.



الف) شکل مود اصلی بخش موج، ب) شکل مود اصلی بخش سخت.

شکل ۸. اشکال مودهای اصلی مخزن.

جدول ۲. پارامترهای دینامیکی مخزن A.

$R_H$ (MN)	$m_1$ (%)	$f_1$ (Hz)	$m_{11}$ (%)	$f_{11}$ (Hz)	نوع مدل
۳,۳۴	-	۱۲,۵۰۰	-	۰,۳۰۶۰۰	[۲۰-۱۹]
۳,۳۸	-	۱۲,۳۰۰	-	۰,۲۴۵۰۰	مدل دو بعدی [۱۸]
۳,۸۸	-	۱۲,۳۰۰	-	۰,۲۹۷۰۰	مدل سه بعدی [۱۸]
۳,۶۹	۵۹,۴۷	۱۲,۵۹۸	۲۴,۴۸	۰,۲۹۹۳۵	روش SRSS
۳,۶۹	۵۹,۴۷	۱۲,۵۹۸	۲۴,۴۸	۰,۲۹۹۳۵	روش CQC

جدول ۳. مشخصات زلزله‌ها.

شماره رکورد	نام رکورد	نام زلزله	سال وقوع	برگای زلزله	طول رکورد (Sec)	گام زمانی (Sec)
۱	LADSP۰۰۰	Landers	۱۹۹۲	۷,۵	۵۰/۰	۰/۰۲۰
۲	LPSTG۰۰۰	Loma Prieta	۱۹۸۹	۷,۱	۳۹/۹	۰,۰۰۵
۳	LPGIL۶۷	Loma Prieta	۱۹۸۹	۷,۱	۳۹/۹	۰,۰۰۵
۴	LPLOB۰۰۰	Loma Prieta	۱۹۸۹	۷,۱	۳۹/۹	۰,۰۰۵
۵	LPAND۲۷۰	Loma Prieta	۱۹۸۹	۷,۱	۳۹/۶	۰,۰۰۵
۶	MHG۰۶۰۹۰	Morgan Hill	۱۹۸۴	۶,۱	۲۹/۹	۰,۰۰۵
۷	NRORR۳۶۰	Northridge	۱۹۹۴	۶,۸	۴۰/۰	۰/۰۲۰

جدول ۴. خلاصه نتایج حاصل از هفت رکورد زلزله.

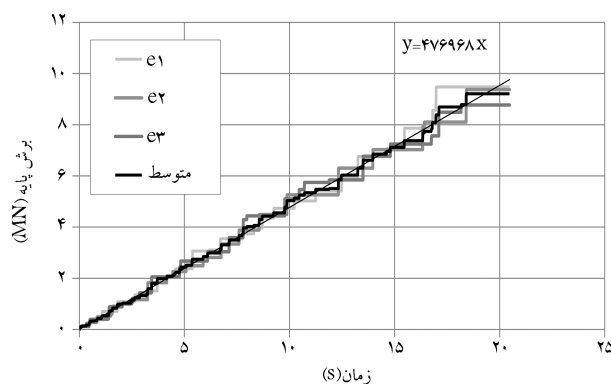
شماره رکورد	برش پایه (مگانیوتون)	تنش برشی گرهی بیشینه (مگاپاسکال)	تنش گرهی بیشینه در راستای زلزله (مگاپاسکال)	جابه جایی بیشینه سیال در گره ۵ و ۷ در راستای زلزله (متر)	ارتفاع بیشینه موج آب (متر)
۱	۴,۳۶۴۶	۳۴,۱۱۳۳	۵,۳۵۵۲	۰,۰۰۲۹	۰,۳۹۵۸
۲	۳,۵۷۴۶	۲۷,۶۸۲۴	۴,۶۳۵۲	۰,۰۰۲۳	۰,۶۰۶۹
۳	۵,۴۰۱۷	۴۱,۶۷۲۷	۷,۳۸۰۴	۰,۰۰۵۴	۰,۳۶۰۰
۴	۵,۱۱۶۳	۳۹,۹۵۰۰	۶,۰۹۰۵	۰,۰۰۴۹	۰,۱۶۸۲
۵	۳,۱۹۷۹	۲۴,۱۸۳۲	۴,۴۵۵۴	۰,۰۰۲۹	۰,۵۰۲۶
۶	۳,۱۱۲۵	۲۴,۲۲۸۷	۴,۱۶۰۱	۰,۰۰۱۸	۰,۳۵۲۸
۷	۲,۴۹۸۷	۱۹,۲۴۱۴	۳,۵۲۲۴	۰,۰۰۲۶	۰,۳۷۵۶
متوجه	۳,۸۹۵۲	۳۰,۱۵۳۱	۵,۰۸۵۶	۰,۰۰۳۲	۰,۳۹۴۶

جدول ۵. نتایج حاصل از سه تابع شتاب (سری e) در ثانیه‌ی دهم.

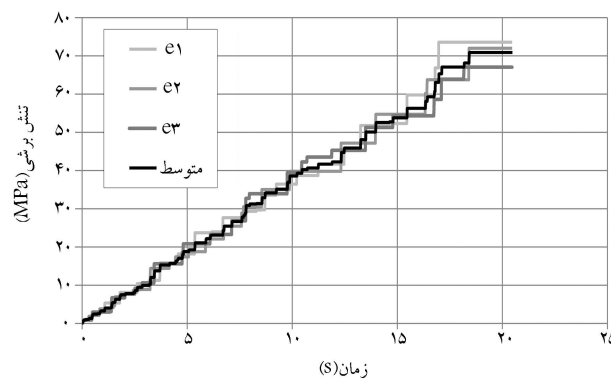
شماره رکورد	برش پایه (مگانیوتون)	تنش برشی گرهی بیشینه (مگاپاسکال)	تنش گرهی بیشینه در راستای زلزله (مگاپاسکال)	جابه جایی بیشینه سیال در گره ۵ و ۷ در راستای زلزله (متر)	ارتفاع بیشینه موج آب (متر)
e1	۴,۸۹۲۵	۳۹,۱۳۲۵	۶,۱۲۴۷	۰,۰۰۳۳	۰,۳۸۰۰
e2	۴,۷۲۱۰	۳۸,۷۶۱۶	۵,۹۵۸۴	۰,۰۰۴۰	۰,۴۱۰۰
e3	۴,۶۸۵۰	۳۵,۷۰۷۳	۵,۸۸۰۴	۰,۰۰۳۳	۰,۳۹۸۰
متوجه	۴,۷۶۶۲	۳۷,۸۶۷۱	۵,۹۸۷۸	۰,۰۰۳۶	۰,۳۹۶۰

جدول ۶. نتایج حاصل از سه تابع شتاب (سری a) در ثانیه‌ی دهم.

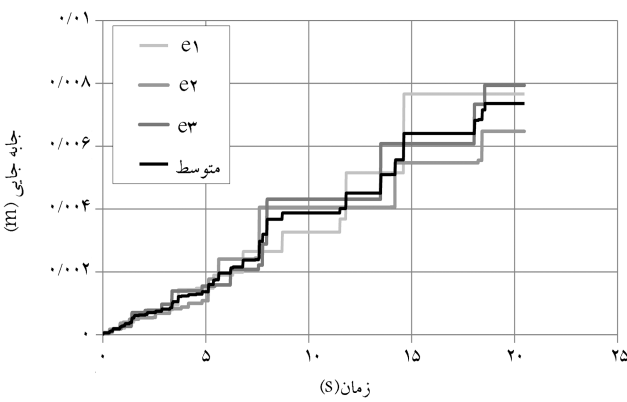
شماره رکورد	برش پایه (مگانیوتون)	تنش برشی گرهی بیشینه (مگاپاسکال)	تنش گرهی بیشینه در راستای زلزله (مگاپاسکال)	جابه جایی بیشینه سیال در گره ۵ و ۷ در راستای زلزله (متر)	ارتفاع بیشینه موج آب (متر)
a1	۳,۱۱۶۷	۲۴,۹۲۹۰	۴,۲۵۲۴	۰,۰۰۲۲	۰,۹۵۰۰
a2	۳,۰۲۲۷	۲۴,۰۷۳۰	۴,۱۲۶۳	۰,۰۰۲۲	۰,۹۵۰۰
a3	۳,۰۲۵۶	۲۲,۵۵۶۱	۴,۲۱۸۱	۰,۰۰۲۴	۱,۰۰۰۰
متوجه	۳,۰۵۵۰	۲۳,۸۵۲۷	۴,۱۹۸۹	۰,۰۰۲۳	۰,۹۷۰۰



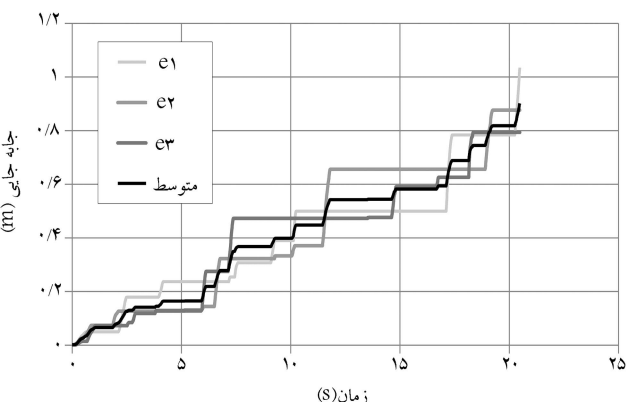
شکل ۱۴. تاریخچه‌ی زمانی برش پایه در سری e.



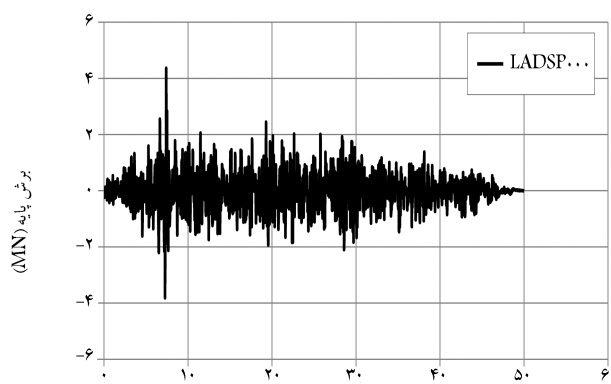
شکل ۱۵. تاریخچه‌ی زمانی اضافه‌ی تنش برشی بیشینه در سری e.



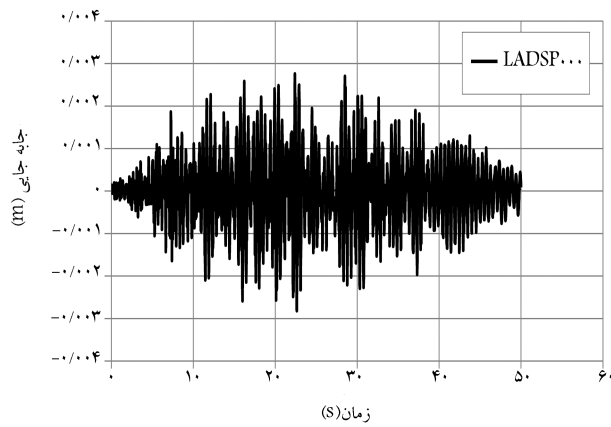
شکل ۱۶. تاریخچه‌ی زمانی جابه‌جایی بیشینه‌ی پوسته در راستای زلزله در سری e.



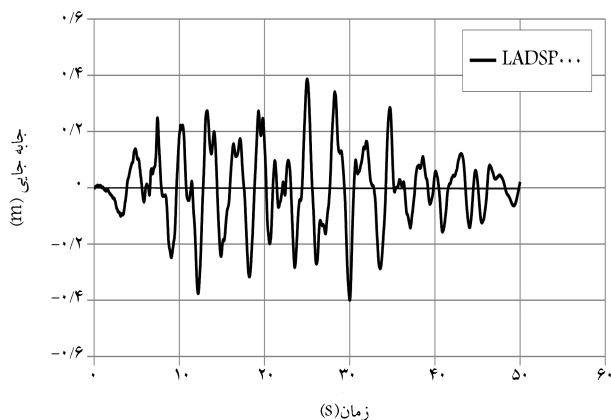
شکل ۱۷. تاریخچه‌ی زمانی جابه‌جایی بیشینه‌ی سیال در راستای عمودی در سری e.



شکل ۱۱. تاریخچه‌ی زمانی برش پایه‌ی رکورد ۱.



شکل ۱۲. تاریخچه‌ی زمانی جابه‌جایی بیشینه‌ی پوسته (گره ۵) در راستای زلزله در رکورد ۱.



شکل ۱۳. تاریخچه‌ی زمانی ارتفاع جابه‌جایی بیشینه‌ی سیال (گره ۵) در رکورد ۱.

خلاصه‌ی نتایج در جدول ۷ ارائه شده است. با توجه به فرض رفتار خطی مدل و همچنین روند خطی افزایش شدت در توابع زمان دوام مورد استفاده، مشاهده می‌شود که روند تغییرات پاسخ نیز خطی است. درمورد برش پایه و تنش در شکل‌های ۱۴ و ۱۵ پراکندگی نتایج کمتر از مقادیر مربوط به تغییر مکان و ارتفاع بیشینه‌ی سیال است (شکل‌های ۱۶ و ۱۷) و به نظر می‌رسد که در این موارد استفاده از یک تابع شتاب بهجای سه تابع تخمین دقت مناسبی ارائه دهد.

جدول ۷. خلاصه‌ی نتایج هفت رکورد زلزله و سری e.

شماره رکورد	برش پایه (مگانیون)	تنش برشی گرهی بیشینه (مگاپاسکال)	تنش گرهی بیشینه در راستای زلزله (مگاپاسکال)	جهابه‌جایی بیشینه‌ی سیال در گره ۵ و ۷ در راستای زلزله (متر)	ارتفاع بیشینه‌ی موج آب (متر)
e1	۴,۸۹۲۵	۳۹,۱۳۲۵	۶,۱۲۴۷	۰,۰۰۳۳	۰,۳۸۰
e2	۴,۷۲۱۰	۳۸,۷۶۱۶	۵,۹۵۸۴	۰,۰۰۴۰	۰,۴۱۰
e3	۴,۶۸۵۰	۳۵,۷۰۷۳	۵,۸۸۰۴	۰,۰۰۳۳	۰,۳۹۸
متوسط	۴,۷۶۶۲	۳۷,۸۶۷۱	۵,۹۸۷۸	۰,۰۰۳۶	۰,۳۹۶۰
۱	۴,۳۶۴۶	۳۴,۱۱۳۳	۵,۳۵۵۲	۰,۰۰۲۹	۰,۳۹۵۸
۲	۳,۵۷۴۶	۲۷,۶۸۲۴	۴,۶۳۵۲	۰,۰۰۲۳	۰,۶۰۶۹
۳	۵,۴۰۱۷	۴۱,۶۷۲۷	۷,۳۸۰۴	۰,۰۰۵۴	۰,۳۶۰۰
۴	۵,۱۱۶۳	۳۹,۹۵۰۰	۶,۰۹۰۵	۰,۰۰۴۹	۰,۱۶۸۲
۵	۳,۱۹۷۹	۲۴,۱۸۳۲	۴,۴۵۵۴	۰,۰۰۲۹	۰,۵۰۲۶
۶	۳,۱۱۲۵	۲۴,۲۲۸۷	۴,۱۶۰۱	۰,۰۰۱۸	۰,۳۵۲۸
۷	۲,۴۹۸۷	۱۹,۲۴۱۴	۲,۵۲۲۴	۰,۰۰۲۶	۰,۳۷۵۶
متوسط	۳,۸۹۵۲	۳۰,۱۵۳۱	۵,۰۸۵۶	۰,۰۰۳۲	۰,۳۹۴۶

محاسبه شد، که پریود نظری آن برابر است با:  $T_{e1} = 1/f_{e1} = 0,0794\text{ (Sec)}$ . اگر در این پریود به نمودار طیف میانگین ۷ زلزله و میانگین ۳ تابع شتاب سری e در شکل ۱۸ توجه شود، بالاترین طیف سری e نسبت به طیف میانگین زلزله‌ها مشاهده می‌شود. جالب است بدانیم وقتی این اختلاف به صورت عددی محاسبه شد به همان اختلاف عددی که در برش و تنش‌ها بود رسیدیم. حال این سوال مطرح می‌شود که چرا مقادیر تغییر مکان‌های سطح سیال انطباق خوبی دارد.

می‌دانیم که تغییر مکان سطح سیال بیشتر به فرکانس بخش موج (نوسانی) بستگی دارد. این مقدار برابر  $f_0 = 0,29935\text{ (Hz)}$  محسوبه شد، و بنابراین پریود نظری آن برابر  $T_0 = 3,34\text{ (Sec)}$  است. در این پریود سطح سیال در نقطه‌یی قلل می‌گیرد که نمودار طیف میانگین زلزله‌ها با طیف میانگین تابع شتاب زمان دوام سری e انطباق کامل دارد. پس از مقایسه نتایج زلزله‌ها با تابع شتاب زمان دوام سری e، نتایج بالا را با توابع اولیه‌ی زمان دوام سری a نیز مقایسه خواهیم کرد. به منظور مقایسه نتایج سری e، a و هفت رکورد زلزله لازم است نتایج را یک‌پایه کنیم. بنابراین برش پایه را هم‌پایه کردیم و با این ضریب نتایج را اصلاح و مقایسه کردیم. بدین منظور برش پایه به کمک آئینه‌نامه‌ی «بخش چهارم یورکد ۸ (۱۹۹۸)» محاسبه شد:

$$T_{imp} = C_i \frac{\sqrt{\rho H}}{\sqrt{\frac{S}{R} \sqrt{E}}} \quad (1)$$

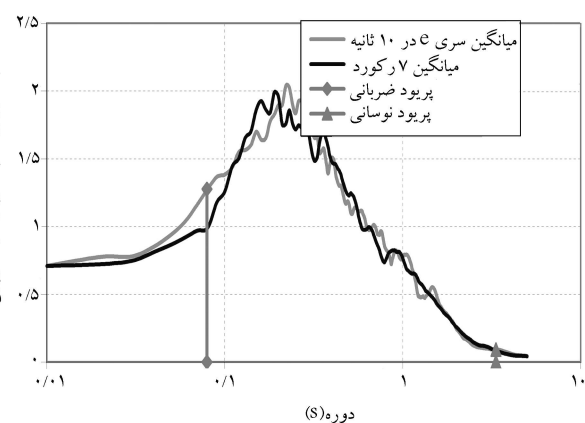
$$T_{con} = C_c \sqrt{R} \quad (2)$$

$$T_{imp} = 6,06 \frac{\sqrt{1000} \times 7,392}{\sqrt{0,0085}} = 0,007721\text{ (Sec)} \quad (3)$$

$$T_{con} = 1,48 \times \sqrt{4,85} = 3,25936\text{ (Sec)} \quad (4)$$

### مقایسه نتایج سری e و هفت رکورد زلزله کالیبره شده با ضرایب سری e

مقایسه نتایج حاصل از میانگین زلزله‌ها با نتایج سری e در حالتی که برش پایه کالیبره نشده‌است، نشان می‌دهد که در مقادیر تغییر مکان سطح سیال انطباق خوبی داریم ولی در مقادیر برش پایه و تنش‌ها اختلافی حدود ۲۰٪ مشاهده می‌شود. در تقسیر اختلاف بین تنش و برش، نمودار طیف میانگین زلزله‌ها و طیف سری e در شکل ۱۸ نشان می‌دهد که در برخی نقاط ازجمله در پریودهای پائین نمودار طیف سری e نسبت به طیف میانگین زلزله‌ها در شروع نمودار دو طیف بالاتر است. چنان که می‌دانیم تنش‌ها و برش پایه بیشتر به بخش سخت ارتباط دارد. در تحلیل کیفی فرکانس مود بخش سخت (ضریبانی) مدل مخزن A برابر  $f_{e1} = 12,598\text{ (Hz)}$  است.



شکل ۱۸. طیف پاسخ میانگین زلزله‌ها و میانگین سری e و اختلاف آن در پریودهای اصلی.

جدول ۸. نتایج کل پس از کالیبراسیون.

ارتفاق بیشینه‌ی موج آب (متر)	جایه‌جایی بیشینه‌ی سیال در گره ۵ و ۷ در راستای زلزله (متر)	تنش بیشینه‌ی گرگهی در راستای زلزله (مگاپاسکال)	تنش برشی گرگهی بیشینه (مگاپاسکال)	برش پایه اصلاح شده (مگاپاسکال)	ضرریب اصلاح	برش پایه (مگاپاسکال)	شماره رکورد
۰,۲۵۷۱	۰,۰۰۲۲	۴,۱۴۳۶	۲۶,۴۷۴۷	۳,۳۱۰	۰,۶۷۶۵	۴,۸۹۲۵	e۱
۰,۲۸۷۵	۰,۰۰۲۸	۴,۱۷۷۵	۲۷,۱۷۶۵	۳,۳۱۰	۰,۷۰۱۱	۴,۷۲۱۰	e۲
۰,۲۸۱۲	۰,۰۰۲۳	۴,۱۵۴۵	۲۵,۲۲۷۲	۳,۳۱۰	۰,۷۰۶۵	۴,۶۸۵۰	e۳
۰,۲۷۵۰	۰,۰۰۲۵	۴,۱۵۸۴	۲۶,۲۹۷۸	۳,۳۱۰	۰,۶۹۴۵	۴,۷۶۶۲	متوسط
۱,۰۰۸۹	۰,۰۰۲۳	۴,۵۱۶۲	۲۶,۴۷۵۱	۳,۳۱۰	۱,۰۶۲۰	۳,۱۱۶۷	a۱
۱,۰۴۰۳	۰,۰۰۲۴	۴,۵۱۸۵	۲۶,۳۸۰۸	۳,۳۱۰	۱,۰۹۵۰	۳,۰۲۲۷	a۲
۱,۰۹۴۰	۰,۰۰۲۶	۴,۶۱۴۶	۲۴,۶۷۶۱	۳,۳۱۰	۱,۰۹۴۰	۳,۰۲۵۶	a۳
۱,۰۴۷	۰,۰۰۲۵	۴,۵۴۹۵	۲۵,۸۴۳۸	۳,۳۱۰	۱,۰۸۳۵	۳,۰۵۵۰	متوسط
۰,۳۰۰۲	۰,۰۰۲۲	۴,۰۶۱۳	۲۵,۸۷۰۷	۳,۳۱۰	۰,۷۵۸۴	۴,۳۶۴۶	۱
۰,۵۶۲۰	۰,۰۰۲۱	۴,۲۹۲۱	۲۵,۶۳۲۹	۳,۳۱۰	۰,۹۲۶۰	۳,۵۷۴۶	۲
۰,۲۲۰۶	۰,۰۰۳۳	۴,۵۲۲۴	۲۵,۵۳۵۵	۳,۳۱۰	۰,۶۱۲۸	۵,۴۰۱۷	۳
۰,۱۰۸۸	۰,۰۰۳۲	۳,۹۴۰۲	۲۵,۸۴۵۶	۳,۳۱۰	۰,۶۴۶۹	۵,۱۱۶۳	۴
۰,۵۲۰۲	۰,۰۰۳۰	۴,۶۱۱۶	۲۵,۰۳۰۷	۳,۳۱۰	۱,۰۳۵۰	۳,۱۹۷۹	۵
۰,۳۷۵۲	۰,۰۰۱۹	۴,۴۲۴۱	۲۵,۷۶۶۰	۳,۳۱۰	۱,۰۶۳۴	۳,۱۱۲۵	۶
۰,۴۹۷۶	۰,۰۰۳۴	۴,۶۶۶۰	۲۵,۴۸۸۵	۳,۳۱۰	۱,۳۲۴۷	۲,۴۹۸۷	۷
۰,۳۶۹۲	۰,۰۰۲۷	۴,۳۵۹۷	۲۵,۵۹۵۸	۳,۳۱۰	۰,۹۰۹۶	۳,۸۹۵۲	متوسط

پریود کوتاه رخ می‌دهد تطابق خوبی دارد. اما در مورد نوسان سطح آزاد سیال و مواردی که در پریود بلند رخ می‌دهد اختلاف وجود دارد، به این دلیل که تحریک سری a در پریود بلند بسیار شدید است. در این موارد استفاده از سری توابع منطبق با زلزله‌های واقعی (مشابه سری e) ضرورت می‌یابد و توابع سری a برای این منظور مناسب نیستند.

۳. در صورت مدل‌کردن سیال و استفاده از المان‌های خاص برای بالابردن دقت مدل، حجم محاسبات لازم بسیار زیاد و تقریباً برای مقاصد طراحی غیرعملی است. روش زمان دوام با کاهش تعداد تحلیل‌های لازم می‌تواند در این زمینه راه‌گشا باشد.

۴. استفاده‌ی مستقیم از رکوردهای زلزله به دلیل ماهیت تصادفی زلزله و تنوع ساختگاه و سازه‌ها نیاز به انجام حجم زیادی از محاسبات عددی دارد که عوضاً کاربرد این روش‌ها را غیرعملی می‌سازد. استفاده از توابع شتاب متناظر با طیف‌های پاسخ به دلیل وجود آینین‌نامه‌های محلی و اختصاصی کردن آن برای ساختگاه و این که طیف پاسخ در واقع میانگین پاسخ واقعی نسبت به تعداد قابل توجهی از زلزله‌هاست به عمل نزدیک‌تر است.

۵. با استفاده از توابع شتاب زمان دوام سازگار با زلزله‌های واقعی می‌توان میانگین پاسخ مخزن مورد مطالعه را از لحظه تنش‌ها، تغییر شکل‌ها و ارتفاع موج در شدت‌های تحریک مختلف با دقت مناسبی در محدوده‌ی رفتار خطی پیش‌بینی کرد. بررسی عملکرد این توابع در تابعی رفتار غیرخطی نیاز به مطالعات گسترش‌های دارد.

### تقدیر و تشکر

نویسنده‌گان بدینوسیله مراتب تشکر و قدردانی خود را از معاونت پژوهشی دانشگاه صنعتی شریف و شرکت ملی مهندسی و ساختمان نفت ایران به دلیل حمایت از پروژه حاضر (NIOEC2/ER-CV/CON-EX05-00) ابراز می‌نمایند.

$$\begin{aligned}
 Q &= (m_i + m_W + m_r)S_a(T_{imp}) + m_c S_a(T_{con}) \\
 \xrightarrow{\text{table}} \frac{m_i}{m} &= ۰,۶۸۶ \Rightarrow m_i = ۳۷۴۷۳۰,۸۲ \\
 \xrightarrow{\text{table}} \frac{m_c}{m} &= ۰,۳۱۴ \Rightarrow m_c = ۱۷۱۵۲۴,۰۲ \\
 f_i &= ۱۲,۵۹۸ \xrightarrow{۱۸۰^\circ} B_i = ۲,۱۵۸۱۵ \\
 f_c &= ۰,۲۹۹۳۵ \xrightarrow{۱۸۰^\circ} B_c = ۰,۷۱۶۴۱ \\
 Q &= ۳۳۰,۹۹۸۶,۶۵۱ (N)
 \end{aligned} \tag{5}$$

پس از مقیاس‌کردن برش پایه برای زلزله‌ها و توابع شتاب زمان دوام سری‌های e و a مشاهده شد که اولاً برش پایه برای سری a، که منطبق بر طیف آینین‌نامه‌ی ۲۸۰۰ ایران است، با مقادیر برش پایه‌ی ایستا نزدیکی دارد. دلیل این امر آن است که برای محاسبه‌ی برش پایه‌ی ایستا از طیف آینین‌نامه‌ی ۲۸۰۰ است زیرا نسبت به زلزله‌ها و سری a خیلی بیشتر است زیرا شدت سری a در پریود بلند غیرمعارف است که با آینین‌نامه‌ی ۲۸۰۰ ایران سازگار است و به طور کلی با زلزله‌های واقعی سازگار نیستند. در سایر موارد بعد از هم‌پایه‌کردن برش پایه تطابق خوبی مشاهده می‌شود. در جدول ۸ نتایج حاصل سری e، سری a و زلزله‌ها را پس از کالیبراسیون نشان داده شده است.

### نتیجه‌گیری

۱. در تحلیل‌های خطی نتایج به دست آمده از هریک از توابع شتاب در یک سری با هم تطابق خوبی دارند. به نظر می‌رسد در عمل می‌توان در محدوده‌ی خطی به جای استفاده از سه تابع شتاب در یک سری از نتایج تحلیل یک تابع شتاب به نتایج تقریبی مناسب برای طراحی اولیه رسید.
۲. توابع شتاب سری e و a در مقادیر برش پایه و تنش پوسته و اصولاً هر آنچه در

## پابنوهت

1. convective(sloshing)
2. impulsive
3. American petroleum institute
4. Euro code 8 part 4
5. endurance time method

## منابع

- Structural Engineering and International*, **10**(3), pp. 197-201 (2000).
11. Hamdan, F.H. "Seismic behaviour of cylindrical steel liquid storage tanks", *Constructional Steel Research* **53**, pp. 307-333 (2000).
  12. Wozniac, R.C. and Mitchell, W.W., *Basis of Design Provisions for Welded Steel Oil Storage Tanks*, Sessions on Advances in Storag Tank Design,American Petroleum Instiute, Washington (1978).
  13. Estekanchi, H.E.; Valamanesh, V. and Vafai, A. "Application of endurance Tme method in linear seismic analysis", *Engineering Structures*, **29**(10), pp. 2551-2562 (October 2007).
  14. Estekanchi, H.E.; Vafai, A. and Sadeghazar, M. "Endurance time method for seismic analysis and design of structures", *Scientia Iranica*, **11**(4), pp. 361-370 (2004).
  15. Estekanchi, H.E.; Arjomandi, K. and Vafai, A. "Estimating structural damage of steel moment frames by Endurance Time method", *Constructional Steel Research*, **64**(10), pp. 145-155 (2008).
  16. Valamanesh, V.; Estekanchi, H.E. and Vafai, A. , "Investigation of endurance time method in seismic analysis of two dimensional steel frames as compared to static method ", *Sharif Journal of Science and Technology*, (35), pp. 47-55 (2006).
  17. Samanipour, K.; Vafai, A.; Estekanchi, H.E. and Keivani, J. "Application possibility of endurance time method in seismic design of ground-supported steel storage tanks", *Sharif Journal of Science and Technology*, (46), pp. 59-72 (2009).
  18. Barton, D.C. and Parker, J.V. "Finite element analysis of the seismic response of anchored and unanchored liquid storage tanks", *Earthquake Engineering & Structural Dynamics*, **15**(3), pp. 299-322 (1987).
  19. U.S. Atomic Energy Commission, "Nuclear reactors and earthquakes", TID-7024, Washington D.C., pp. 367-390 (1963).
  20. Balendra, T.; Ang, K.K.; Paramasivam, P. and Lee, S.L. "Seismic design of flexible cylindrical liquid storage tanks", *Earthquake Engineering & Structural Dynamics*, **10**, pp. 477-496 (1982).
  21. Vaezi, D. "Nonlinear seismic analysis of ground-supported steel storage tanks using endurance time method", MSc Thesis Sharif University of Technology, Tehran (2008).

